

Présentation des schémas d'advection (moment et traceurs)
et opérateurs de viscosité/diffusion présents dans CROCO

$$\frac{D \langle \mathbf{u}_h \rangle}{Dt} + f \mathbf{k} \times \langle \mathbf{u}_h \rangle = \frac{\nabla_h p}{\rho_0} - \nabla_h \cdot \langle \mathbf{u}'_h \mathbf{u}'_h \rangle - \partial_z \langle w' \mathbf{u}'_h \rangle$$

$$\partial_z p = -g\rho'$$

$$\nabla \cdot \langle \mathbf{u} \rangle = 0$$

$$\frac{D \langle T \rangle}{Dt} = -\frac{\partial_z Q_s}{\rho_0 C_{p,o}} - \nabla_h \cdot \langle \mathbf{u}'_h T' \rangle - \partial_z \langle w' T' \rangle$$

$$\frac{D \langle S \rangle}{Dt} = -\nabla_h \cdot \langle \mathbf{u}'_h S' \rangle - \partial_z \langle w' S' \rangle$$

$$\rho = \rho_{\text{eos}}(\langle T \rangle, \langle S \rangle, z)$$

avec

$$\frac{D \langle X \rangle}{Dt} = \partial_t \langle X \rangle + \nabla \cdot \langle X \rangle \langle \mathbf{u} \rangle$$

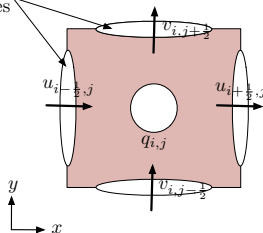
Schémas d'advection disponibles

Equation	horizontal	vertical
Moment 3D	UV_HADV_UP3 UV_HADV_C4 UV_HADV_C2	UV_VADV_SPLINES UV_VADV_C2
Traceurs	TS_HADV_C4 TS_HADV_UP5 TS_HADV_WENO5 TS_HADV_C6 TS_HADV_RSUP3 TS_HADV_RSUP5	TS_VADV_SPLINES TS_VADV_AKIMA TS_VADV_C2 TS_VADV_WENO5
Moment 2D	M2_HADV_UP3 M2_HADV_C2	- -

Le problème d'advection = problème d'interpolation

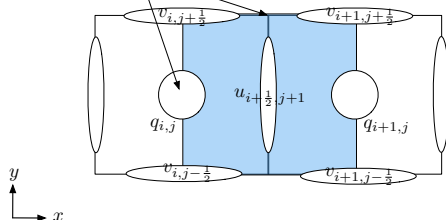
Traceurs

Besoin d'évaluer q
aux interfaces



Moment

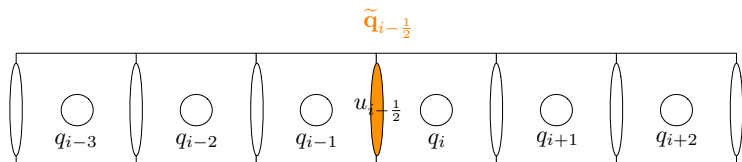
Besoin d'évaluer u et v
au centre et aux coins
des mailles



Schémas d'advection horizontale

Advection horizontale

[HADV_C2,HADV_UP3,HADV_C4,HADV_UP5,HADV_C6]



$$\partial_x(uq)|_{x=x_i} = \frac{1}{\Delta x_i} \{u_{i+1/2}\tilde{q}_{i+1/2} - u_{i-1/2}\tilde{q}_{i-1/2}\}$$

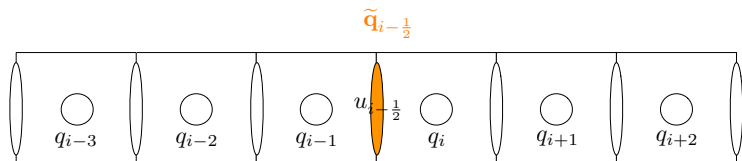
$$\tilde{q}_{i-1/2}^{\text{C2}} = \frac{q_i + q_{i-1}}{2}$$

$$\tilde{q}_{i-1/2}^{\text{C4}} = (7/6)\tilde{q}_{i-1/2}^{\text{C2}} - (1/12)(q_{i+1} + q_{i-2})$$

$$\tilde{q}_{i-1/2}^{\text{UP3}} = \tilde{q}_{i-1/2}^{\text{C4}} + \text{sign}(1/12, u_{i-1/2})(q_{i+1} - 3q_i + 3q_{i-1} - q_{i-2})$$

$$\tilde{q}_{i-1/2}^{\text{C6}} = (8/5)\tilde{q}_{i-1/2}^{\text{C4}} - (19/60)\tilde{q}_{i-1/2}^{\text{C2}} + (1/60)(q_{i+2} + q_{i-3})$$

$$\tilde{q}_{i-1/2}^{\text{UP5}} = \tilde{q}_{i-1/2}^{\text{C6}} - \text{sign}(1/60, u_{i-1/2})(q_{i+2} - 5q_{i+1} + 10q_i - 10q_{i-1} + 5q_{i-2} - q_{i-3})$$



$$\partial_x(uq)|_{x=x_i} = \frac{1}{\Delta x_i} \{u_{i+1/2}\tilde{q}_{i+1/2} - u_{i-1/2}\tilde{q}_{i-1/2}\}$$

$$\tilde{q}_{i-1/2}^{\text{UP3}} = \tilde{q}_{i-1/2}^{\text{C4}} + \text{sign}(1/12, u_{i-1/2})(q_{i+1} - 3q_i + 3q_{i-1} - q_{i-2})$$

$$\tilde{q}_{i-1/2}^{\text{UP5}} = \tilde{q}_{i-1/2}^{\text{C6}} - \text{sign}(1/60, u_{i-1/2})(q_{i+2} - 5q_{i+1} + 10q_i - 10q_{i-1} + 5q_{i-2} - q_{i-3})$$

⇒ Schémas Split-UP3 et Split-UP5

Propriétés des schémas linéaires

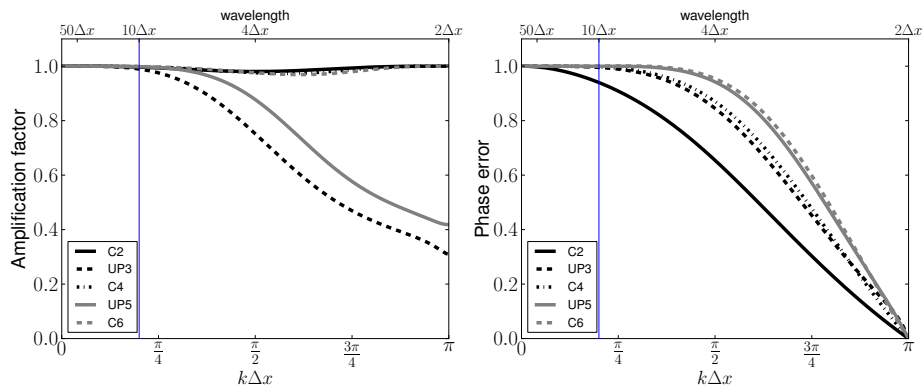


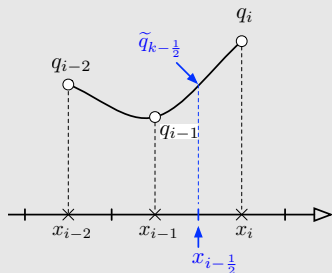
Figure: Erreurs sur l'amplitude (à gauche) et la phase (à droite) pour les schémas linéaires d'ordre 2 à 6.

Schéma UP3 classique

$$\frac{q(x_i + \Delta x) - q(x_i - \Delta x)}{2\Delta x} = \partial_x q(x_i) + \frac{1}{6}\Delta x^2 \partial_x^3 q(x_i) + \mathcal{O}(\Delta x^4)$$

Pour annuler l'erreur d'ordre 2 $\rightarrow \tilde{q}_{i-1/2}^{\text{UP3}} = \frac{q_i + q_{i-1}}{2} - \frac{1}{6}(q_i - 2q_{i-1} + q_{i-2})$

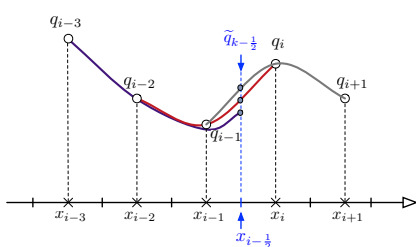
Schéma d'ordre 3 au sens des volumes finis (e.g. Leonard, 1995)



$$\tilde{q}_{i-1/2} = \frac{q_i + q_{i-1}}{2} - \frac{1}{8}(q_i - 2q_{i-1} + q_{i-2})$$

[TS_HADV_WENO5]

Pondération non linéaire entre 3 évaluations de la valeur d'interface



$$\tilde{q}_{k-1/2} = w_0 \tilde{q}_{k-1/2}^{(0)} + w_1 \tilde{q}_{k-1/2}^{(1)} + w_2 \tilde{q}_{k-1/2}^{(2)}$$

- 1 Convexité ($\sum_{j=0}^2 w_j = 1$)
- 2 Propriété ENO (essentially non-oscillatory)
- 3 5ème ordre si $q(x)$ est lisse

- Ce schéma a la propriété ENO (il satisfait une contrainte *Total Variation Bounded*)
- **Attention:** pas de propriété de préservation de la monotonie !!!

⇒ Choix tout de même à privilégier pour les traceurs biogéochimiques

Formulation à la Lilly (1965)

$$\partial_t(\text{Hz}u) + \partial_x((\text{Hz}u)u) + \partial_y((\text{Hz}v)u) + \dots$$

$$\partial_t(\text{Hz}v) + \partial_x((\text{Hz}u)v) + \partial_y((\text{Hz}v)v) + \dots$$

[UV_HADV_UP3]

$$\left(\widetilde{(\text{Hz}u)}u\right)_{i,j} = \left(\widetilde{\text{Hz}u}\right)_{i,j}^{\text{C4}} \tilde{u}_{i,j}^{\text{UP3}}$$

$$\left(\widetilde{(\text{Hz}v)}u\right)_{i+\frac{1}{2},j+\frac{1}{2}} = \left(\widetilde{\text{Hz}v}\right)_{i+\frac{1}{2},j+\frac{1}{2}}^{\text{C4}} \tilde{u}_{i+\frac{1}{2},j+\frac{1}{2}}^{\text{UP3}}$$

où le choix pour la direction de l'upwind est fait en fonction de

$$u_{i,j}^{\text{upw}} = u_{i+1/2,j} + u_{i-1/2,j}, \quad v_{i+\frac{1}{2},j+\frac{1}{2}}^{\text{upw}} = (\text{Hz}v)_{i,j+\frac{1}{2}} + (\text{Hz}v)_{i+1,j+\frac{1}{2}}$$

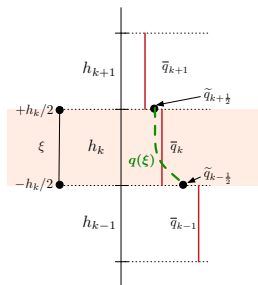
Schémas d'advection verticale

Reconstruction spline (rhs3d.F, compute_vert_tracer_fluxes.h)

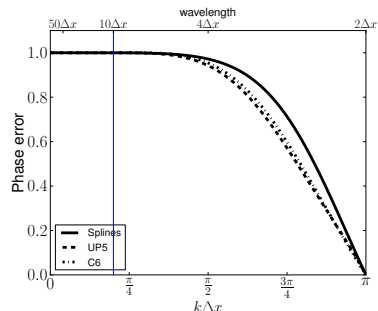
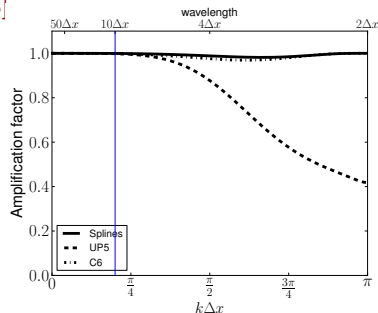
[TS_VADV_SPLINES, UV_VADV_SPLINES]

Les flux sont obtenus comme solution du problème tridiagonal

$$\begin{aligned} \text{Hz}_{k+1} \tilde{q}_{k-1/2} + 2(\text{Hz}_k + \text{Hz}_{k+1}) \tilde{q}_{k+1/2} + \text{Hz}_k \tilde{q}_{k+3/2} \\ = 3(\text{Hz}_k \bar{q}_{k+1} + \text{Hz}_{k+1} \bar{q}_k) \end{aligned}$$



$$\begin{aligned} q(\xi) = \bar{q}_k + \frac{\tilde{q}_{k+1/2} - \tilde{q}_{k-1/2}}{h_k} \xi \\ + 6 \left(\frac{\tilde{q}_{k+1/2} + \tilde{q}_{k-1/2}}{2} - \bar{q}_k \right) \left(\frac{\xi^2}{h_k^2} - \frac{1}{12} \right) \end{aligned}$$



[VADV_ADAPT_IMP]

Idee : séparer la vitesse verticale Ω en une contribution explicite et une contribution implicite [Shchepetkin, 2015]

$$\Omega = \Omega^{(e)} + \Omega^{(i)}, \quad \Omega^{(e)} = \frac{\Omega}{f(\alpha_{\text{adv}}^z, \alpha_{\text{max}})}, \quad f(\alpha_{\text{adv}}^z, \alpha_{\text{max}}) = \begin{cases} 1, & \alpha_{\text{adv}}^z \leq \alpha_{\text{max}} \\ \alpha / \alpha_{\text{max}}, & \alpha_{\text{adv}}^z > \alpha_{\text{max}} \end{cases}$$

→ $\Omega^{(e)}$ intégré avec un schéma explicite (avec CFL α_{max})

→ $\Omega^{(i)}$ intégré avec une schéma d'Euler upwind implicite

Configuration	Résolution	ancien Δt	nouveau Δt
BENGUELA [Penven et al.]	25 km	6300 s	7140 s
OMAN [Vic et al.]	2 km	160 s	470 s

- ▶ Pragmatique mais aucun contrôle sur les erreurs
- ▶ Impose l'utilisation d'un schéma linéaire pour la partie explicite

[TS_VADV_AKIMA] (compute_vert_tracer_fluxes.h)

$$\begin{aligned}\tilde{q}_{k-1/2}^{\text{C4}} &= (7/6)\tilde{q}_{k-1/2}^{\text{C2}} - (1/12)(q_{k+1} + q_{k-2}) \\ &= \tilde{q}_{k-1/2}^{\text{C2}} - \frac{1}{6}(d_k - d_{k-1}), \quad d_k = \frac{\Delta q_{k+1/2} + \Delta q_{k-1/2}}{2}\end{aligned}$$

pour le schéma AKIMA on remplace la moyenne algébrique des pentes par la moyenne harmonique

$$d_k = \begin{cases} \frac{2}{\frac{1}{\Delta q_{k+1/2}} + \frac{1}{\Delta q_{k-1/2}}} & \text{si } \Delta q_{k+1/2} \Delta q_{k-1/2} > 0 \\ 0 & \text{sinon} \end{cases}$$

Opérateur visqueux et (hyper-) diffusion

[UV_VIS2] Tenseur visqueux (uv3dmix.F)

$$\boldsymbol{\sigma}(\mathbf{u}_h) = \begin{pmatrix} \partial_x u - \partial_y v & \partial_y u + \partial_x v \\ \partial_x v + \partial_y u & -(\partial_x u - \partial_y v) \end{pmatrix}$$

l'opérateur de viscosité est donc donné par

$$-\nabla_h \cdot \langle \mathbf{u}'_h \mathbf{u}'_h \rangle = \frac{1}{\text{Hz}} \nabla_h \cdot (A_M \text{ Hz } \boldsymbol{\sigma}), \quad A_M \leftrightarrow \text{visc2}$$

Cette formulation assure

- ❶ La conservation de la quantité de mouvement
- ❷ La conservation du moment angulaire
- ❸ Le terme visqueux est strictement dissipatif

[UV_VIS4] Même logique appliquée 2 fois ($B_M \leftrightarrow \text{visc4}$)

$$-\nabla_h \cdot \langle \mathbf{u}'_h \mathbf{u}'_h \rangle = -\frac{1}{\text{Hz}} \nabla_h \cdot (B_M \text{ Hz } \boldsymbol{\sigma}'), \quad \boldsymbol{\sigma}' = \boldsymbol{\sigma}(\nabla_h \cdot \boldsymbol{\sigma}(\mathbf{u}_h))$$

[UV_VIS_SMAGO, UV_VIS2]

Coefficient de viscosité turbulente

$$A_M = C_M (\Delta x \Delta y) \sqrt{(\partial_x u)^2 + (\partial_y v)^2 + 2(\partial_y u + \partial_x v)^2}$$

Par défaut $C_M = 1/10$ (paramètre *horcon* dans la routine *hvisc_coef*)

[TS_DIF_SMAGO, TS_DIF2]

Coefficient de diffusion turbulente

$$A_S = C_S (\Delta x \Delta y) \sqrt{(\partial_x u)^2 + (\partial_y v)^2 + 2(\partial_y u + \partial_x v)^2}$$

Par défaut $C_S = 1/12$ (paramètre *horcon* dans la routine *hdiff_coef*)

[TS_DIF2]

Sous l'approximation faible pente (i.e. $\|\nabla_h \rho\|/\partial_z \rho \ll 1$) on a

$$-\nabla_h \cdot \langle \mathbf{u}'_h X' \rangle = \nabla \cdot (\mathbf{R} \nabla X), \quad \mathbf{R} = \begin{pmatrix} A_x & 0 & A_x \alpha_x \\ 0 & A_y & A_y \alpha_y \\ A_x \alpha_x & A_y \alpha_y & A_x \alpha_x^2 + A_y \alpha_y^2 \end{pmatrix}$$

où $\alpha_m = -(\partial_m \rho / \partial_z \rho)$, $A_x \leftrightarrow \text{diff3u}$, $A_y \leftrightarrow \text{diff3v}$.

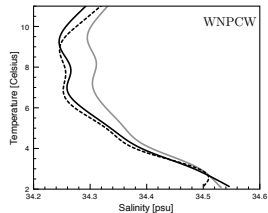
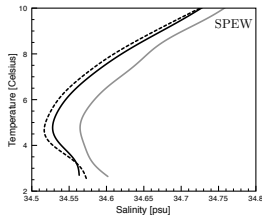
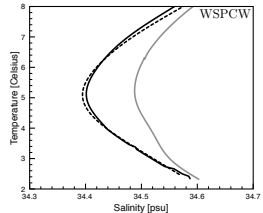
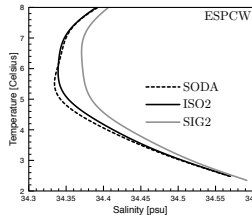
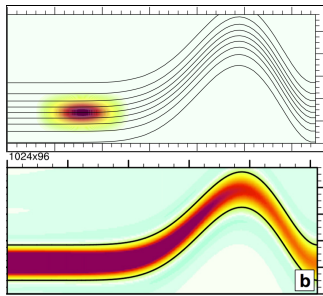
[TS_DIF4]

$$-\nabla_h \cdot \langle \mathbf{u}'_h X' \rangle = -\nabla \cdot (\mathbf{R}' \nabla (\nabla \cdot (\mathbf{R}' \nabla X))), \quad \mathbf{R}' = \begin{pmatrix} \sqrt{B_x} & 0 & \sqrt{B_x} \alpha_x \\ 0 & \sqrt{B_y} & \sqrt{B_y} \alpha_y \\ \sqrt{B_x} \alpha_x & \sqrt{B_y} \alpha_y & \sqrt{B_x} \alpha_x^2 + \sqrt{B_y} \alpha_y^2 \end{pmatrix}$$

[TS_MIX_IMP] *Method of stabilizing corrections*

$$\begin{cases} X^* &= X^n + \Delta t \mathcal{D}(X^n) \\ X^{n+1} &= X^* + \Delta t \partial_z \{ \text{Akz}(z) (\partial_z X^{n+1} - \partial_z X^n) \} \end{cases}$$

Illustration de l'effet de la diffusion tournée et limitations



Limitations

- Basé sur l'hypothèse *faible pente*
- Diffusion non monotone à cause des termes croisés
- Suppose une évolution basse fréquence des isopycnes